

**멀티포인트 네트워크의 효율적 데이터  
전송을 위한 적응등화.**

장태원 김남용 오웅선 강창언  
연세대학교 전자공학과

An Adaptive Equalization For The Effective Data Throughput In Multi-point Network.

Tae Won Chang, Nam Yong Kim, Yong Seon Oh, and Chang Eon Kang  
Dept. of Electronic Engineering, Yon Sei University

#### **Abstract**

In multipoint network, modem start-up time is very important, which uses the poll/select line protocol. This paper shows fast-convergence equalization to reduce the set-up time of modem equalizer. This result represents the effective data throughputs by achieving fast-polling in multipoint networks.

기들이 전송하는 데이터들의 길이는 보통 짧기 때문에 데이터의 효율적 전송이 가능해 진다.

본 논문에서는 LMS(least mean square) 알고리즘 [3,7]과 개별 패드 조절 알고리즘인 IT(Individual tap)-LMS 알고리즘 [8]을 모뎀의 적응 등화기에 적용 수렴 속도에 따른 멀티포인트 네트워크의 성능을 비교 고찰하였다. 여기에 사용된 변조방식은 9600bps(2400baud/s)의 전송 속도를 가지는 16-QAM (CCITT 권고안 V.29)을 사용하였다. [2]

#### **1. 서론**

하나의 중앙 컴퓨터 시스템 또는 주스테이션(Primary station)에 두 개 이상의 대화형 단말기 또는 부스테이션(Secondary)들이 중앙의 컴퓨터를 이용하여 프로그램을 개발하거나 중앙의 데이터 베이스를 이용한 응용을 할 때, 멀티포인트(또는 멀티 드롭) 이용한 네트워크를 구성 할 수 있다. 대표적인 예로 비행기 예약 시스템을 들 수 있다. 이 때 선로의 전송 제어 방식은 중앙 컴퓨터 시스템에 의해 polled 편 단말기 만이 데이터를 전송 할 수 있는 Polling/Select 선로 프로토콜을 주로 사용한다. [1,2]

중앙 컴퓨터 시스템은 Polled 편 단말기의 모뎀들이 보내는 어떤 특정한 Training 신호에 대해 모뎀 등화기의 패드 계수를 set-up 해야 한다. 여기서 set up 편 패드 계수는 Polled 되는 다른 단말기의 전송 채널 특성과 다르므로 저장 할 필요가 없다. 위 등화기 set-up 시간은 모뎀 start up 시간의 주요한 부분을 차지한다. [4,5,6] 따라서 등화기 패드 계수를 따른 시간에 set-up 하면 따른 polling 을 할 수 있고 단말

#### **2. 멀티포인트 네트워크의 개요**

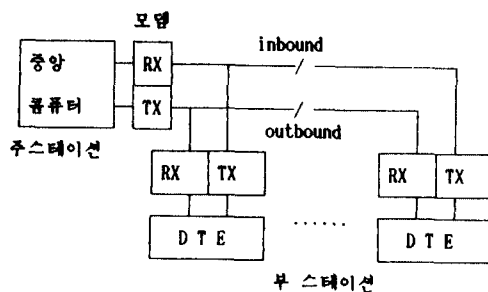
하나의 주스테이션과 두 개 이상의 부스테이션간의 네트워크 구성시 지점간(Point-to-point)과 멀티드롭 선로를 이용한 방법이 있다. 후자의 경우가 가지는 잇점은 다음과 같다.

- 선로 비용의 절감
- 모뎀 비용의 절감
- 주스테이션이 통신을 할 때 필요로 하는 하드웨어

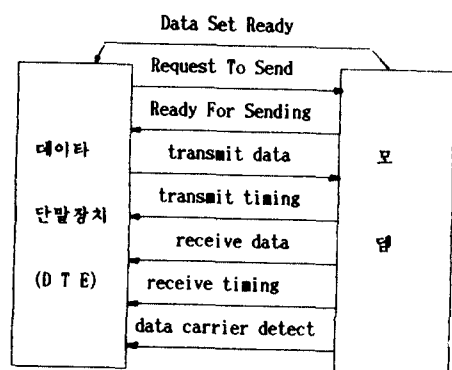
interface 수의 감소와 이에 따른 비용의 감소

멀티포인트 네트워크에서 주스테이션이 Polling할 부스테이션의 주소를 보내므로 부스테이션은 자신의 고유 주소를 갖고 있어야 한다. 멀티포인트 네트워크의 일반적인 구성을 (그림 1)과 같다.

주스테이션의 모뎀은 자동 등화가 가능한 Intelligent 모뎀을 사용하는 것이 보통이다. 위의 네트워크에서 모뎀과 데이터 단말장치 (Data Terminal Equipment)간의 인터페이스(Interface)인 V.24 / RS 232C 는 다음과 (그림 2)와 같다.



(그림 1) 멀티포인트 네트워크



(그림 2) V.24 / RS 232C 인터페이스

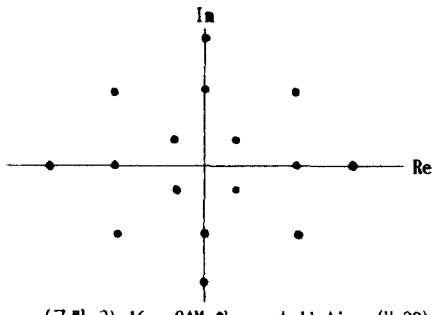
멀티포인트 네트워크의 성능을 계산하는 데에는 여려가지 지연 시간이 중요한 요인이 된다. 모뎀에서 발생하는 지연 시간은 다음과 같다.

- 모뎀 지연시간
- 모뎀 turn around 지연시간

위의 지연시간 중에서 모뎀의 등화기 템 set up 시간은 ready to send 와 ready for sending 의 turn around 시간에 들어가 있는데, 이 시간이 줄어들면 신속한 polling이 가능하다. 따라서 비교적 짧은 데이터를 전송하는 단말기들은 보다 효율적으로 데이터를 전송할 수 있게 된다.

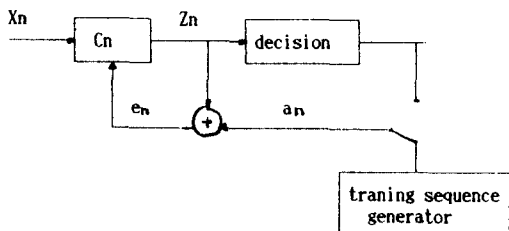
### 3. 모뎀의 적용동화

본 논문에서 사용할 변조 방식인 16-QAM의 constellation은 (그림 3)과 같다.



(그림 3) 16-QAM의 constellation (V.29)

모뎀 수신단의 QAM 신호는 채널 특성에 의해 왜곡된 후 백색 잡음이 더해졌다고 가정한다. QAM에 대한 복소 베이스 밴드 등화기는 (그림 4)와 같다.



(그림 4) QAM 모뎀의 적용동화

위 신호는

$$\text{채널 출력} : X_n = X_{n,r} + j X_{n,i} \quad \dots \quad (1)$$

$$\text{亂 계수} : C_n = C_{n,r} + j C_{n,i} \quad \dots \quad (2)$$

$$\text{등화기 출력} : Z_n = X_n - C_n = Z_{n,r} + j Z_{n,i} \quad \dots \quad (3)$$

$$\text{training 신호} : a_n = a_{n,r} + j a_{n,i} \quad \dots \quad (4)$$

$$\text{에러} : e_n = Z_n - a_n = e_{n,r} + j e_{n,i} \quad \dots \quad (5)$$

과 같이 표현된다.

이 때 LMS 템 조절 알고리즘 [3,7]은

$$C_{n+1} = C_n - \lambda X_n e_n \quad \dots \quad (6)$$

과 같다. 복소신호에 대해 (6)식은

$$C_{n+1,r} = C_{n,r} - \lambda (e_{n,r}, X_{n,r} + e_{n,i}, X_{n,i}) \quad \dots \quad (6)$$

$$C_{n+1,i} = C_{n,i} + \lambda (e_{n,i}, X_{n,i} - e_{n,r}, X_{n,r}) \quad \dots \quad (7)$$

와 같이 표현된다. 이때 등화기 출력  $Z_n$ 은

$$Z_{n,r} = X_{n,r}^T C_{n,r} - X_{n,i}^T C_{n,i}$$

과 같다. IT-LMS 알고리즘 [8]에서는 등화기의 행을 개별적으로 조정하는데 이 때 행 계수를 조정하지 않는 행들의 계수는 고정된다. 이 것을 시간이  $n$ 이고 행 수가  $M$ , 개별 행 조정에 필요한 샘플 수를  $K$ 로 나타내면  $i$ 번째 행에 대해식 (9)-(10)과 같이 나타낼 수 있다.

$$C_{i,k+1} = C_{i,k} - \lambda e^{X_{n+k-i-1}} \quad \dots \quad (9)$$

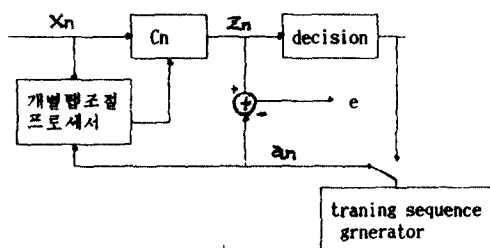
$$e = \sum_{i=1}^M c_{i,k} x_{n+k-i-1} - a_{n+k-i-1} \quad \dots \quad (10)$$

여기서  $i=1, 2, \dots, M$

$k=1, 2, \dots, K$

$$n=1, 2, \dots$$

복소신호에 대해서는 (9), (10) 식에 (1)-(8)식을 대입하여 구할 수 있다. 위 알고리즘을 적용하기 위해선 전용 프로세서가 필요하므로 통화기의 구조는 (그림 5)와 같다.

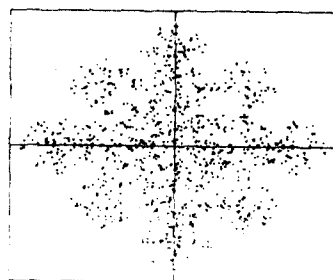
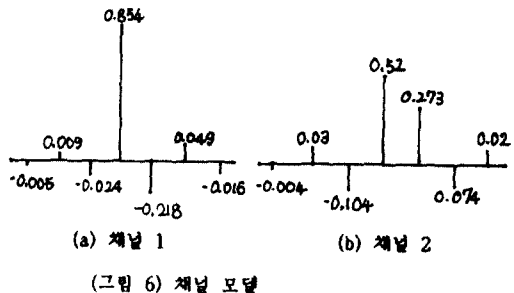


### (그림 5) IT-LMS 등화기

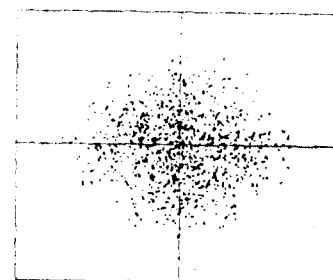
#### 4. 시뮬레이션 및 결과고찰

(그림 1)과 같은 constellation을 가지는 16-QAM 신호를 (그림 6)과 같은 두 가지 모델의 채널을 통과시킨 후, 이 출력에 분산이 0.001인 백색 잡음을 더해 등화기의 입력으로 하였다. 등화기의 레벨은 5 개로 하였고, 스텝 파라미터는 0.02로 하였다. IT-LMS 에서 개별텝 조절을 위해 취해오는 쟈틀 수는 4 개로 하였다.

등화기 입력 신호에 대한 constellation은 (그림 7)과 같으며 채널 1의 불선성이 더 좋다는 것을 볼 수 있다.



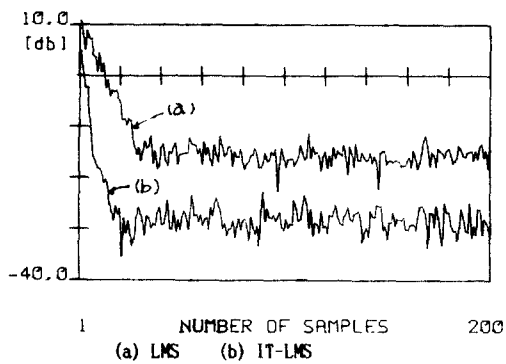
(a) 채널 1



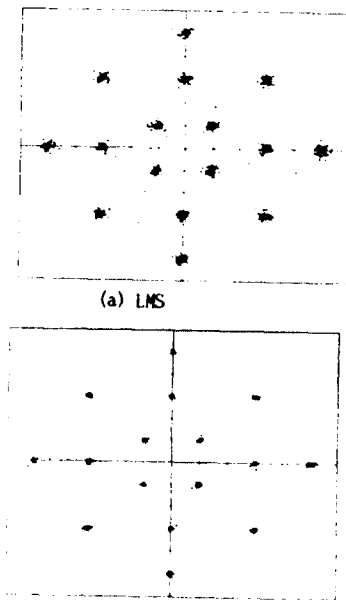
### (b) 現量 2

(그림 8)와 (그림 10)은 두 채널에 대한 MSE 수렴 곡선으로 IT-LMS 알고리즘이 LMS 알고리즘보다 훨씬 빠르게 수렴한다는 것을 쉽게 알 수 있으며, 수렴시 에러의 파워도 채널 1에 대해서는 약 13db 채널 2에 대해서는 약 7db 낮음을 볼 수 있다. 또한 IT-LMS 알고리즘 성능이 낫다는 것을 (그림 9)와 (그림 11)의 constellation을 보아도 쉽게 알 수 있다.

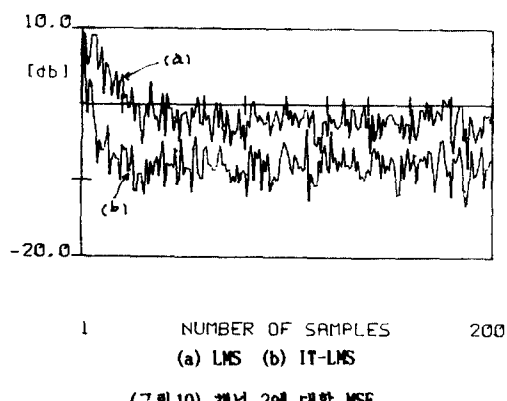
MSE 수렴곡선을 살펴 볼 때 LMS 보다 IT-LMS의 경우 15 채널 앞서 통화기의 범위가 Set up 절차를 알 수 있다. 이것은 9600bps(2400 baud/s) 전송 속도시  $15 \times 1/2400 = 6\text{ms}$  라를 보이나, IT-LMS 알고리즘의 특성상 범위 계수 조정의 처음 iteration시 3 채널 동안의 자연이 생기고 수렴시 3 채널을



(그림 8) 채널 1에 대한 MSE

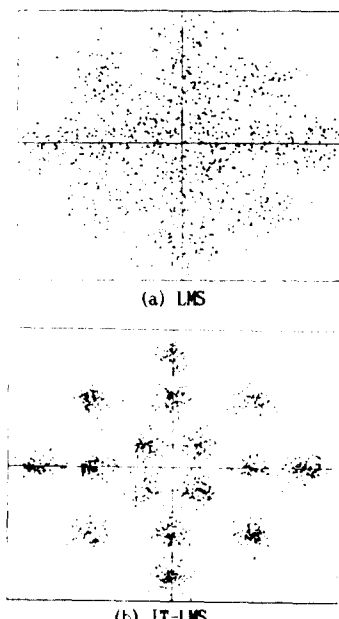


(그림 9) 채널 1에 대한 constellation



(그림 10) 채널 2에 대한 MSE

더 취해야 하므로 실질적인 향상은  $15 - 6 = 9$  샘플 즉,  $9 \times 1/2400 = 4\text{ms}$ 의 속도향상을 보인다. 또 한 수렴 후, 잔여 에러가 작기 때문에 신뢰성 높은 통신을 수 있음을 볼 수 있다.



(그림 11) 채널 2에 대한 constellation

## 5. 결론

시뮬레이션 결과로 부터 모뎀 start-up 시 training 신호에 대해 개별적으로 템파수를 조정할 때, LMS 알고리즘에 비해 보다 빠르게 등화기의 템파수가 set-up 템을 알 수 있으며 알고리즘도 비교적 간단하다. 따라서 모뎀의 turn around 자연시간의 감소로 인해 신속한 polling이 멀티포인트 네트워크에서 가능함을 볼 수 있다. 그 결과 보다 효율적인 데이터의 전송이 멀티포인트 네트워크에서 가능함을 알 수 있다.

## 6. 참고 문헌

1. Trevor Housley, Data Communication and Teleprocessing Systems, Prentice-Hall, 1987
2. Fred Jennings, Practical Data Communications, Blackwell, 1986

3. Shahid U.H.Qureshi,"Adaptive Proceedi-ion",Proceeding of IEEE,Vol.73,No.9,pp1349-1387,Sep. 1985
4. Kaveh Pahlavaan,Jerry L,Holsinger,"Voice-Band Data Communication Modem-A Historical Review:1919-1988",IEEE Comm. Magazine,Vol.26,No.1,pp16-27,Jan.1988
5. D. N. Godard,"Self-recovering equalization and carrier tracking in two dimensional data communication systems",IEEE Tran.on Comm.,Vol.COM-28,pp1867 1875  
,Nov.1980
6. D.N.Godard,"A 9600bps Modem for Multipoint Communication Systems",NTC,pp.B3.3.1-3.3.5,1981
7. J.G.Proakis,Digital Communications,McGraw-Hill,1983
8. 김 남용 ,”텔 이득의 개별적 적용 제어에 의한 등화기의 설계 ”,연세대학교 대학원 석사학위논문 ,2월 ,1988